

АКАДЕМИЯ НАУК СССР

ПОЧВОВЕДЕНИЕ

(ОТДЕЛЬНЫЙ ОТТИСК)

2

МОСКВА · 1981

УДК 551.578.1

В. М. МОСКОВКИН, В. Ф. ГАХОВ

К МЕТОДИКЕ РАСЧЕТА КИНЕТИЧЕСКОЙ ЭНЕРГИИ ОСАДКОВ

Приведены расчеты кинетической энергии однородных естественных и искусственных осадков в зависимости от высоты дождевания и размера капель.

Расчет кинетической энергии осадков важен в вопросах прогноза эрозии, эрозионного районирования, оптимальной защиты почв от эрозии, орошения и др. Следует отметить, что капельно-дождевая эрозия гораздо сильнее влияет на процесс разрушения почвенной структуры, чем плоскостный и мелкоручейковый сток, благодаря большой кинетической энергии осадков, достигающей 30—40 дж/м²·мм. Это обусловлено большими конечными скоростями падения капель, превышающими иногда на порядок скорости склоновых потоков. Исследования показывают, что мощность дождя (плотность потока кинетической энергии, дж/м²·мин) может превосходить мощность плоскостного стока на три порядка, на порядок мощность мелкоручейкового стока и сравнима с мощностью бороздового стока [2].

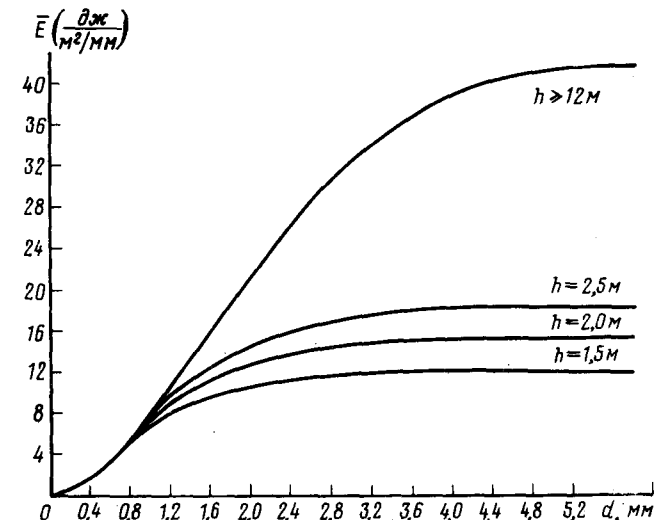
В практических целях нами построены кривые кинетической энергии (рисунок) однородных естественных и искусственных осадков в зависимости от диаметра капель и высоты дождевания по формуле $\bar{E}=0,5 V_k^2$ [3], где V_k и \bar{E} измеряются в м/сек и дж/м²·мм. Ниже мы будем различать кинетическую энергию осадков (плотность потока кинетической энергии), мощность дождя (E , дж/м²·мин) и кинетическую энергию дождя, приведенную к 1-мм слою осадков \bar{E} , дж/м²·мм. Для естественных осадков для каждого диаметра капель брали V_k , который изменялся с шагом 0,1 мм при $0 < d < 1$ и 0,2 мм при $d > 1$, по данным Ганна и Кинчера [1].

Для трех по высоте типов дождевальных установок ($h_1=2,5$ м, $h_2=2,0$ м, $h_3=1,5$ м) конечную скорость падения капель определяли по формуле, приведенной в работе Швебса [3]. Расчет указал на вогнуто-выпуклый характер кривых энергии, которые хорошо аппроксимируются функцией

$$\bar{E} = \bar{E}_\infty [1 - \exp(-\alpha d^2)]. \quad (1)$$

Для естественных осадков ($h \geq 12$ м) максимальный уровень энергии равен около 42,2 дж/м²·мм, а для искусственных эти уровни соответственно равны $\bar{E}_\infty^1 = 19$, $\bar{E}_\infty^2 = 16$, $\bar{E}_\infty^3 = 13$. Параметры \bar{E}_∞ , α могут быть найдены достаточно точно методом наименьших квадратов. Приближенная оценка параметра α при $\bar{E}_\infty = 42$ дж/м²·мм равна 0,164, а при более точном значении \bar{E}_∞ ($\bar{E}_\infty = 42,2$ дж/м²·мм) $\alpha = 0,155$. Для естественных осадков хорошо выделяется линейная область роста \bar{E} в зависимости от диаметра капель $d \in [0,7; 2,2]$. Это обусловлено тем, что в этой области зависимость скорости падения капли от ее диаметра подчинена теоретической зависимости $V_k = c\sqrt{d}$ (квадратичная область сопротивления). Примерно до капель размером 0,8 мм кривые энергии для естественных и искусственных осадков ($h \leq 2,5$ м) совпадают.

По предложенным кривым можно определять соответствие между энергией искусственных и естественных осадков. Например, при $h_1=2,5$ м уровень энергии при $d=2,4$ мм, равный 16 дж/м²·мм, соответствует такому же по энергии однородному естественному дождю с диаметром капель, равным 1,6 мм. Если известны точные значения энергии, рассчитанные с учетом спектра осадков, то по кривым можно определять диаметр капель эквивалентного по энергии однородного дождя. Кроме того, при экспериментальном моделировании процессов эрозии необходимо получать такую интенсивность однородного искусственного дождя I_h , энергия которого соответствовала бы энергии естественного $E=\bar{E}I$. Такая задача может решаться с помощью соотношения $I_h = \bar{E}I/\bar{E}_h$, где индекс h говорит о высоте безнапорного дождевания и значения \bar{E} , \bar{E}_h определяются по предложенным кривым.



Зависимость кинетической энергии однородных осадков от диаметра капель и высоты дождевания (уровень $h > 12$ соответствует естественному однородному дождю)

Ввиду того что скорость разрушения почвы R (кг/м²·мин) при капельном воздействии очень хорошо коррелирует с кинетической энергией осадков E (дж/м²·мин), то по кривым с помощью соотношения $R=f(E)$ [3—6] и $E=\bar{E}I$ можно определять оптимальные параметры искусственного дождевания (h , d , I) с целью недопущения чрезмерного разрушения почвы, что имеет большое значение в мелиоративной практике.

Вышеизложенное справедливо для безнапорного дождевания. При напорном дождевании с ненулевой начальной вертикальной скоростью падения капель расчет конечной скорости и энергии усложняется. Но ввиду того что в практике дождевание проводится под некоторым углом вверх, то, чтобы пользоваться предложенными кривыми, достаточно установить некоторую среднюю высоту выпадения основной массы дождя с нулевой вертикальной скоростью. Это наиболее приемлемо для средней и дальноструйных дождевальных установок. Для последних ввиду выпадения основной массы дождя с высотой порядка 10 м можно пользоваться формулой (1) для естественных осадков ($\bar{E}_\infty = 42,2$ дж/м²·мм, $\alpha = 0,155$) или кривой рисунка при $h \geq 12$ м.

Литература

- Литвинов И. В. Структура атмосферных осадков. Л., Гидрометеоиздат, 1974.
- Трофимов А. М., Московкин В. М. Энергетический подход к сравнительной оценке протекания водно-эрзационных процессов. Тез. докл. Всесоюзн. конф. «Теоретические

- основы противозерзационных мероприятий**, ч. 1. Одесса, 1979.
3. Швебс Г. И. Формирование водной эрозии, стока наносов и их оценка. Л., Гидрометеоиздат, 1974.
4. Ekern P .C. Problem of raindrop impact erosion. Agric. Engin., v. 34, № 1, 1953.
5. Morgan R. P. C. Field studies of rainsplash erosion. Earth Surf. Proc., v. 3, № 3, 1978.
6. Rose C. W. Soil detachment caused by rainfall. Soil Sci., v. 89, № 1, 1960.

ВНИИ по охране вод
Минмеливодхоз СССР

Поступила в редакцию
31.X.1979

V. M. MOSKOVKIN, V. F. GAKHOV

**A METHOD FOR CALCULATING KINETIC ENERGY
OF PRECIPITATION**

A method for calculating kinetic energy of precipitation with regard for its spectrum is discussed and a combined diagram of spectrum and precipitation energy is constructed. Calculations of homogenic natural and artificial precipitation are presented depending on the height of sprinkling and the diameter of drops.